

землетрясения). Сдвиг частоты $f_0 F_2$ замечен только на второй ионограмме, когда возмущение нижних слоев привело к их заметному перемешиванию, так что отражение от них стало полностью хаотическим.

В заключение необходимо отметить, что в данной работе использовались материалы МДЦ-Б, сотрудникам которого автор выражает свою искреннюю благодарность

ЛИТЕРАТУРА

1. Sarmā S. B et al — J. Radio Space Phys, 1977, 6, № 3, p. 168
2. Krasovsky V. J et al. — Ann. Geophys, 1977, 33, № 3, p. 347.
3. Уэбб В. Л. Термосферная циркуляция — М: Мир, 1972
4. Волновые возмущения в ионосфере — Алма-Ата: Наука, 1975.
5. Волновые возмущения в атмосфере — Алма-Ата: Наука, 1980.
6. Francis S. H — J. Atm. Terr. Phys, 1975, 37, p. 1011.
7. Деминова Г. Ф., Юдович Л. А. — Геомагнетизм и аэрономия, 1980, 20, с. 742.
8. Засов Г. Ф. и др — Геомагнетизм и аэрономия, 1977, 17, с. 346
9. Анасофу С Полярные и магнитосферные суббури — М.: Мир, 1971.
10. Dieminger W. et al. — Hochfrequenttechnik und electroakustik, 1934, 44, p. 2.
11. Narang L. — Terr. magn. and electr., 1939, 44, p. 17.
12. Lewies T. J — Canad. J. Phys, 1967, 45, p. 1549.
13. Васильев К. Н. В сб: Исследования по проблемам солнечно-земной физики. — М.: Наука, 1975, с. 201.
14. Klostermeyer J, Rottger J. — Planet Space Sci., 1976, 24, p. 1065.
15. Leonard R S., Barnes R. Q. — J. Geoph. Res., 1965, 70, p. 1250.

Всесоюзный научно-исследовательский институт оптико-физических измерений

Поступила в редакцию
23 сентября 1981 г.

УДК 533.951

МОДУЛЯЦИОННАЯ НЕУСТОЙЧИВОСТЬ МАГНИТОЗВУКОВЫХ ВОЛН ПРИ ПОПЕРЕЧНОМ РАСПРОСТРАНЕНИИ ПО ОТНОШЕНИЮ К МАГНИТНОМУ ПОЛЮ В ПЛОСКОМ ПЛАЗМЕННОМ ВОЛНОВОДЕ

В. П. Дворяковский, В. М. Костычев, С. М. Файнштейн

Известно [1-3], что в плазменных волноводах самомодуляция и взаимодействие квазимонохроматических пакетов волн имеет ряд особенностей. В частности, из-за ограниченности системы появляется дисперсия для тех мод, у которых она отсутствовала в безграничной среде, и при выполнении критерия Лайтхилла возможна модуляционная неустойчивость. Впервые эта неустойчивость в плазменном волноводе для магнитозвуковых волн исследовалась в [2], причем анализировалось распространение волнового пакета вдоль магнитного поля, параллельного стенкам волновода. В данной работе обращается внимание на возможность возникновения самомодуляции волн поперек магнитного поля в плазменном волноводе, рассмотренном в [2]. Показано, что в указанной системе из-за кубичной нелинейности, связанной с газокинетическим давлением плазмы, выполнен критерий Лайтхилла, и происходит разбиение слабо-модулированной волны на пакеты. Приведены оценки для твердотельной плазмы.

Исходная безразмерная система МГД уравнений имеет вид *:

$$\begin{aligned}
 (\partial H_6 / \partial t_6) - \operatorname{rot} [\mathbf{v}_6 \mathbf{x}_0] &= \mu \operatorname{rot} [\mathbf{v}_6 \mathbf{H}_6], \\
 (\partial \mathbf{v}_6 / \partial t) + [\mathbf{x}_0 \operatorname{rot} \mathbf{H}_6] + \alpha \nabla \rho_6 &= \mu \{ \rho_6 [\mathbf{x}_0 \operatorname{rot} \mathbf{H}_6] - [\mathbf{H}_6 \operatorname{rot} \mathbf{H}_6] + \\
 + \alpha \rho_6 \nabla \rho_6 - (\mathbf{v}_6 \nabla) \mathbf{v}_6 + \rho_6 [\mathbf{H}_6 \operatorname{rot} \mathbf{H}_6] - \rho_6^2 [\mathbf{x}_0 \operatorname{rot} \mathbf{H}_6] - \alpha \rho_6^2 \nabla \rho_6 \}, \\
 (\partial \rho_6 / \partial t_6) + \operatorname{div} \mathbf{v}_6 &= -\mu \operatorname{div} (\rho_6 \mathbf{v}_6),
 \end{aligned} \tag{1}$$

где \mathbf{x}_0 — орт вдоль оси Ox ($Ox \parallel \mathbf{H}_0$; \mathbf{H}_0 — постоянное магнитное поле, параллельное стенкам волновода), $\mathbf{H}_6 = \mathbf{H} / H_0$; $\mathbf{v}_6 = \frac{\mathbf{v}}{c_a}$; $\rho_6 = \rho / \rho_0$; $x_6, y_6, z_6 = \frac{x, y, z}{d}$, $t_6 = \frac{t c_a}{d}$;

$\alpha = \frac{c_s^2}{c_a^2}$ (c_a, c_s, ρ_0, d — соответственно альфвеновская скорость, скорость изотермического

* Индекс «б» в дальнейшем опускаем.

звука, равновесная плотность плазмы, толщина волновода). Параметр $\mu \ll 1$ введен для обозначения малости правых частей (1).

Уравнения (1) дополним граничными условиями на стенках волновода:

$$v_z = (0, 1) = 0 \quad (2)$$

(ось Oz перпендикулярна стенкам волновода), что соответствует зеркальному отражению частиц от границ. Рассмотрим распространение квазимонохроматического пакета волн поперек магнитного поля H_0 вдоль оси Oy , тогда при $\mu=0$ (линейная задача) нетрудно получить дисперсионное уравнение для нормальных мод системы

$$\omega^2 - k^2(1+\alpha) = \pi^2 n^2(1+\alpha), \quad n=1, 2, \dots \quad (3)$$

Отсюда видно, что при $d \rightarrow \infty$ это уравнение соответствует магнитному звуку, распространяющемуся поперек магнитного поля в безграничной плазме:

$$\omega \sim k (c_a^2 + c_s^2)^{1/2}.$$

Отметим, что зависимость $\omega(k)$ для рассматриваемой системы сильно нелинейна при $k \ll 1$, причем $d^2\omega/dk^2 > 0$. Поляризационный вектор волны $\mathbf{u} = \{H_x, H_y, H_z, v_x, v_y, v_z, \rho\}$ имеет компоненты

$$\left\{ \frac{i\omega \cos hz}{(1+\alpha)h}, 0, 0, 0, ik \frac{\cos hz}{h}, \sin hz, \frac{i\omega \cos hz}{h(1+\alpha)} \right\}, \quad h = \pi n.$$

При $\mu \ll 1$ ищем решение в виде асимптотического ряда (см. [2]). Проделав несложные, но громоздкие выкладки с учетом условия ортогональности для самосопряженной краевой задачи (см. [1, 2]), получим коэффициент нелинейного взаимодействия, соответствующий на спектральном языке процессу

$$\omega + \omega - \omega \rightarrow \omega.$$

Этот коэффициент имеет вид

$$\epsilon = -\frac{3}{8} \frac{\alpha \omega^3 [\omega^2 - 2k^2(1+\alpha)]}{h^2(1+\alpha)^4}, \quad (4)$$

т. е. $\epsilon < 0$, поскольку $\omega^2 > 2k^2(1+\alpha)$.

Таким образом, для магнитного звука в рассматриваемой системе всегда выполнен критерий Лайтхилла*:

$$\epsilon d^2\omega/dk^2 < 0. \quad (5)$$

Инкремент модуляционной неустойчивости равен [4]

$$\Gamma = \text{Im } K v_{\text{гp}} \left[1 + \left(\frac{v_{\text{гp}}^2 \kappa^2 K^2}{4\omega^2} - |\epsilon \kappa A_0^2| \right)^{1/2} \right], \quad (6)$$

где $\kappa = (d^2\omega/dk^2) (\omega/v_{\text{гp}}^2)$ — параметр дисперсии, $v_{\text{гp}}$ — групповая скорость, K — волновое число пробного сигнала, A_0 — амплитуда основной волны. При $k \ll 1$, $\alpha \ll 1$ инкремент модуляционной неустойчивости $\Gamma \sim (\sqrt{3} \alpha \pi / 2 \sqrt{2}) (A_0 K^{-1})$. При этом использовались приближенные формулы $\epsilon \sim (3/8) \alpha \pi^2$, $\omega \sim \pi$ ($n=1$), $\omega_k \sim k/\pi$, $\omega'_{kk} \sim 1/\pi$. Отметим, что инкремент неустойчивости отличен от нуля лишь при $\alpha \neq 0$, т. е. в «холодной» плазме он пренебрежимо мал; это связано с тем фактом, что согласно МГД уравнениям при кубичной нелинейности происходит компенсация нелинейного тока, обусловленного силой Ампера, и самовоздействие определяется кубичной нелинейности газокINETического давления — в уравнениях МГД ей соответствует член $\alpha \nabla \rho / (\rho_0 + \rho)$.

В заключение оценим инкремент модуляционной неустойчивости для плазмы полупроводника InSb с параметрами: концентрация носителей $n \sim 10^{15} \text{ см}^{-3}$, температура $T \sim 77 \text{ К}$, $H_0 \sim 10^3 \text{ Гс}$, масса дырок $m_g \sim 0,1 m$ (m — масса свободного электрона), $d \sim 0,1 \text{ мм}$. В указанной системе магнитный звук частоты $\omega \sim 10^{11} \text{ с}^{-1}$ (длина волны $\lambda \sim 3 \text{ мм}$) и амплитуды $H \sim 10 \text{ Гс}$ имеет инкремент модуляционной

* Отметим, что, если исследовать самовоздействие широкого по частоте спектра пакета волн, то соответствующее параболическое уравнение для спектральной компоненты поля имеет аналогичный вид. В работе [5] приведен метод получения этого уравнения. Кроме того, как показывает анализ, обычная распадная неустойчивость для волн с разными поперечными индексами не имеет места ввиду ортогональности нелинейного тока по отношению к возбуждаемой волне.

неустойчивости $\Gamma \sim 10^8 \text{ с}^{-1}$ (длина волны модуляции $\sim 1,5 \text{ см}$). Отметим, что полученные результаты могут быть полезны для диагностики плазмы, так, определив инкремент неустойчивости, можно судить о концентрации или температуре носителей плазмы.

ЛИТЕРАТУРА

1. Дворяковский В. П., Петрухин Н. С., Файнштейн С. М. — Изв. АН СССР. Сер. Физика атмосферы и океана, 1978, 14, с. 21.
2. Дворяковский В. П., Петрухин Н. С., Файнштейн С. М. — Физика плазмы, 1979, 5, с. 79.
3. Дворяковский В. П., Файнштейн С. М. — Изв. вузов — Радиофизика, 1981, 24, № 5, с. 533.
4. Островский Л. А. — В сб.: Нелинейная оптика — Новосибирск: Наука, 1968.
5. Рабинович М. И., Штильман Л. Е. — Изв. вузов — Радиофизика, 1973, 16, № 11, с. 1680.

Горьковский политехнический институт

Поступила в редакцию 5 марта 1981 г.

УДК 621.372.8

К ТЕОРИИ ПРИЗМЕННОЙ СВЯЗИ С ФЕРРИТОВЫМ ВОЛНОВОДОМ

В. В. Малов, З. М. Усманова, Л. В. Иогансен

Призмный накопитель [1], состоящий из подложки 1, ферритового волновода 2, слоя НПВО 3 и призмы 4, изображен на рис. 1. Мы полагаем, что все среды — изотропные диэлектрики с диэлектрическими проницаемостями ϵ_i , $1 \leq i \leq 4$. Среда 1, 3, 4 — немагнитные, т. е. для них $\mu = 1$. Феррит считается обладающим такой областью естественного ферромагнитного резонанса (ФМР), что он допускает в миллиметровом диапазоне возможность управления магнитными характеристиками с помощью постоянного магнитного поля H_0 , меняющегося по величине [2]. Тензор высокочастотной магнитной проницаемости феррита в случае внешнего поля H_0 , направленного по оси y , имеет вид

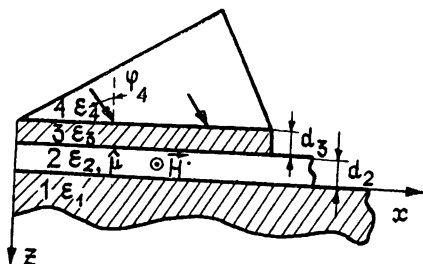


Рис. 1.

$$\hat{\mu} = \begin{pmatrix} \mu & 0 & -ik \\ 0 & 1 & 0 \\ ik & 0 & \mu \end{pmatrix}, \quad (1)$$

где μ и k имеют в общем случае как действительную часть, так и мнимую. Последняя ответственна за поглощение.

Явный вид выражений для μ и k [3] не приводится ввиду их значительной громоздкости. Для целей управления достаточно учитывать, что $\mu = \mu(H_0)$, $k = k(H_0)$. В ферритовом волноводе вдоль оси x могут распространяться волны двух типов: ТЕ- и ТМ-волны. В ТМ-волнах магнитное поле волны направлено по оси y , и волна нечувствительна к изменению H_0 . На изменение H_0 реагируют ТЕ-волны. Только они и будут интересовать нас ниже. Для этих волн дисперсионное уравнение имеет следующий вид [3]:

$$\text{tg } k_{z2} d_2 = \frac{(k_{z2}/\mu_{\text{эфф}})(q_1 + q_3)}{\left[(k_{z2}^2/\mu_{\text{эфф}}^2) - q_1 q_3 + k_x^2/k_{\text{эфф}}^2 + (k_x/k_{\text{эфф}})(q_3 - q_1) \right]}. \quad (2)$$

Здесь k_x , k_{z2} — соответствующие проекции волнового вектора распространяющейся вдоль оси x монохроматической волны частоты ω , причём $k_x^2 + k_{z2}^2 = \epsilon_2 \mu_{\text{эфф}} \omega^2$, $\mu_{\text{эфф}} = (\mu^2 - k^2)/\mu$, $q_{1,3} = (k_x^2 - \epsilon_{1,3} \omega^2)^{1/2}$, $k_{\text{эфф}} = (\mu^2 - k^2)/k$. Уравнение (2) позволяет найти закон дисперсии в виде $\varphi_2 = \varphi_2(\omega)$, где φ_2 — угол падения электромагнитной волны в волноводном слое 2 и далее определить φ_4 , что и проделано ниже. Наряду с зависимостью $\varphi_2 = \varphi_2(\omega)$ важнейшей характеристикой призмного накопителя является длина l_0 связи волновода с призмой. Выражения для